

عمق‌یابی در سواحل با استفاده از تصاویر ماهواره‌ای سنتینل ۲

(بندر صلاله عمان)

مهدى مدیرى^۲

حکمت‌الله محمدخانلو^۱

حميد عنايى^۴

الهه خصالى^۳

تاریخ پذیرش مقاله: ۹۸/۰۲/۲۴

تاریخ دریافت مقاله: ۹۷/۱۰/۱۳

چكیده

هیدروگرافی علمی است که با پایش منظم پارامترهایی نظیر عمق آب، زمین‌شناسی، ژئوفیزیک، جزر و مد، جریان آب، امواج و سایر ویژگی‌های فیزیکی آب دریا، امکان تهیه نقشه‌های مورد استفاده در عملیات دریانوری را فراهم و سهم بسزایی در زیر ساخت‌های داخلی کشورهای ساحلی ایفا می‌نماید. ارائه مناسب خدمات هیدروگرافی متضمن دریانوری ایمن و مؤثر می‌باشد. به طوری که توسعه خدمات هیدروگرافی در سطح ملی می‌تواند ضمن ارتقاء ایمنی دریانوردان، حفاظت از جان انسان‌ها و متعلقاتشان در دریا، تسهیلاتی را به منظور حفاظت از محیط زیست دریایی ایجاد نماید. در این راستا با پیشرفت تکنولوژی‌های فضایی در سال‌های اخیر با هدف سرعت بخشیدن به تولید اطلاعات مکانی و پایش دریاها در بازه زمانی قابل قبول، محدودیت نقشه‌برداری دریایی در زمان‌های بحران همچون جنگ و نامنی از بین رفته و بستر مناسب جهت عمق‌یابی در سواحل دور و غیر قابل دسترس و همچنین پایش پهنه‌های وسیع آبی و استراتژیک، با بکارگیری فناوری سنجش‌ازدور در حوزه علوم دریایی و با استفاده از آنالیز طیفی داده‌های ماهواره‌ای و بکارگیری مدل‌های مختلف، عمق بستر دریا در محدوده‌های کم عمق ایجاد شده است. بدین منظور در پژوهش حاضر، از تصاویر ماهواره Sentinel2 و مدل‌های عمق سنجی رگرسیون خطی چند باند^۵ (LMR) و استامپ به منظور تعیین عمق آب استفاده شده است. سپس با استفاده از چارت دریایی ۱:۲۵,۰۰۰ Admiralty ارزیابی دقت انجام شد. پس از پیاده سازی، مدل بهینه رگرسیون خطی چند باندی، مقدار میانگین مربع خطاهای (RMSE)^۶ ۲/۱۵ متر و ضریب همبستگی^۷ (CC) آن ۹۲۵/۰٪ در فواصل عمقی صفر تا ۲۰ متر محاسبه و با استخراج پارامترهای مورد نیاز مدل، بر روی مقادیر پیکسلی^۸ ۴ باند ۱۰ متری تصویر Sentinel2 اعمال شده و مدل رقومی ارتفاعی بستر محاسبه و پیاده‌سازی گردیده است.

واژه‌های کلیدی: هیدروگرافی، چارت دیتوم، تصاویر ماهواره‌ای، Sentinel2، سنجش از دور

۱- کارشناس ارشد ژئودزی دانشگاه علوم و تحقیقات شهرود h.m.khanlu@gmail.com

۲- دانشیار دانشگاه صنعتی مالک اشتر(نویسنده مسئول) mmodiri@ut.ac.ir

۳- دانشجوی دکتری گروه فتوگرامتری و سنجش از دور دانشگاه صنعتی خواجه نصیرالدین طوسی elah.khesali@mail.kntu.ac.ir

۴- کارشناس ارشد فتوگرامتری، دانشگاه صنعتی خواجه نصیرالدین طوسی en.hamid22@gmail.com

5- Linear Multiple Regression

6- Root Mean Square Error

7- Correlation Coefficient

۱- مقدمه

خلیج‌ها وجود دارد (Benny, and Dawson, 1983). همچنین عدم

وجود اطلاعات مناسب از جنس بستر که به طور مستقیم بر روی درجات روشنایی تصویر تأثیر می‌گذارد باعث بروز خطا در تخمین عمق آب می‌شود. در این تحقیق از تصاویر ماهواره‌ای اپتیکی به منظور استخراج عمق استفاده شده است، لذا در ادامه به بررسی اجمالی مدل‌های تعیین عمق با تصاویر ماهواره‌ای پرداخته می‌شود.

در سال ۱۹۷۸ میلادی لایزنگا^۳ و همکاران از یک ترکیب خطی لگاریتم مقادیر رادیانس تصحیح شده، جهت عمق‌سنجی استفاده کردند. این روش براساس ساده‌سازی مدل فیزیکی بیرون^۴ بدست آمده است که در آن برای دو باند یک معادله خطی پنج مجھوله حاصل می‌شود. این محقق مدل خود را بهبود بخشید و در سال ۲۰۰۶ مدل جدید و بهبود یافته از مدل قبلی خود را ارایه کرد. تحقیقات انجام شده توسط این محقق بر روی مردانه مرجانی با شفافیت آب مناسب در شمال غربی جزایر هاوایی، خطای RMSE هنجرایی‌افته^۵ که برابر مقدار خطای RMSE به عمق واقعی برای عمق‌های پایین‌تر از ۱۵ متر، کمتر از ۴۰ درصد بدست آمد (Stumpf, Holderied, & Sinclair, 2003). در سال ۱۹۸۸ جاپ و همکاران روش مبتنی بر حداقل‌ر اعمق نفوذ آب را ارائه کردند که این مدل از یک رگرسیون جهت یافتن پارامترهای مجھول استفاده نمی‌کند و دارای فرض‌هایی مبنی بر ثابت بودن کیفیت و رنگ و جنس بستر در کل تصویر و دارای دو مرحله تقسیم‌بندی تصویر براساس حداقل‌ر اعمق نفوذ هر باند و تعیین زون‌ها و درونیابی عمق در هر زون است. نتایج این روش بر روی داده‌های عمق سنجی شده منطقه Turks&caicos که در آن تغییرات عمق بین ۳۵-۲۵ تا ۰/۶۶ متر بوده است. تصویر مورد استفاده مربوط به سنجنده لندست با قدرت تفکیک مکانی ۳۰ متر با مقادیر متناظر طیفی در چهار باند (آبی، سبز، قرمز و مادون قرمز نزدیک) می‌باشد. در آزمون‌های انجام شده، وابستگی حدود ۸۲ درصدی بین

هیدروگرافی کشورهای ساحلی سهم بسزایی را در زیر ساخت داخلی آن کشورها ایفاء می‌نماید. ارائه مناسب خدمات هیدروگرافی متنضم دریانوردی اینمن و مؤثر می‌باشد. به طوری که پرورش و توسعه خدمات هیدروگرافی در سطح ملی می‌تواند ضمن ارتقا اینمنی دریانوردان، حفاظت از جان انسان‌ها و متعلقاتشان در دریا، تسهیلاتی را به منظور حفاظت از محیط زیست دریایی نیز ایجاد نماید (Martin, 2014). در این راستا نیاز به دانستن جریان‌های آبی و جزرومد، جهت توسعه خدمات ملی هیدروگرافی از جمله حمل و نقل دریایی، مدیریت بر نواحی ساحلی، اکتشاف و استخراج منابع دریایی و حفاظت محیط دریا ضروری می‌باشد. برای مشخص نمودن مرزهای دریایی (آب‌های سرزمینی، فلات قاره و منطقه اقتصادی انحصاری یک کشور ساحلی)، نقشه برداری‌های اقیانوسی، جزرومدی و نقشه‌برداری عمق الزامی است. خط پست‌ترین جزر بعنوان خط مبداء و شاخص اساسی برای تعریف دریایی سرزمینی در تعیین مرزهای دریایی محسوب و با آنالیز مشاهدات جزر و مدلی تعیین می‌شود. دست‌یابی به مشاهدات جزرومدی نیازمند برداشت‌های میدانی عمق سنجی توسط شناورهای هیدروگرافی می‌باشد که علاوه بر محدودیت‌های موجود در مناطق کم عمق، مستلزم زمان و هزینه‌های بالایی است. با رشد و پیشرفت تکنولوژی‌های فضایی در سال‌های اخیر و بهره‌گیری از فناوری‌های نوین، همچون داده‌های لیدار (LiDAR)^۶، تصاویر طیفی و داده‌های راداری (RADAR)^۷ در زمینه استخراج خطوط ساحلی مطالعات گسترش‌های صورت گرفته است که استخراج خط پست‌ترین جزر بعنوان یک سطح تراز در رسیدن به هدف از اهمیت ویژه‌ای برخوردار است (Gao, 2009).

به طور کلی روش‌های عمق سنجی سنجش از دوری در نواحی که آب نسبتاً شفاف و با عمق حداقل ۲۰ متر می‌باشد، قابل بکارگیری است، که این شرایط معمولاً در دریاچه‌ها و

1- Light Detection and Ranging

2- RADAR Detection And Ranging

3- Lyzenga

4- Beer

5- Normalization

فصلنامه علمی - پژوهشی اطلاعات جغرافیایی (میر) عمق‌بایی در سواحل با استفاده از تصاویر ماهواره‌ای سنتینل... ۲۷ /

وزمان پردازش روش مناسبی باشد & (Safari, Homayouni, Khazaee, 2014)

در سال ۲۰۰۸ سو و همکاران روشی اتوماتیک جهت کالیبره کرن پارامترهای مدل معکوس غیرخطی برای عمق‌سنگی ارائه کردند. این روش روی تصاویر آیکونوس پیاده‌سازی گردید. نتایج حاصل از این مدل با عمق‌های استخراج شده از مدل معکوس خطی لگاریتمی مقایسه شدند و بخصوص در مناطق عمیق‌تر دقیق‌تر بود. در پایه داده‌های این روش روشی برای ارزیابی سنجی بیشتری را نشان دادند.

در سال ۲۰۰۵ میشرا و همکاران مدلی را برای عمق‌بایی ارایه کردند که بجای بکارگیری از یک باند در تخمین عمق، از آنالیز جز اصلی (PCA)^۳ که شامل تغییرات تمامی باندهای سنجنده است استفاده شده است. این روش بر روی تصاویر آیکونوس در قسمت غربی دریای کارایب بکارگیری شده است. در این روش بجای استفاده از مقادیر بازتابش مستقیماً از مقادیر روش‌بایی استفاده شده و بعد از طبقه‌بندی جنس بستر با استفاده از اطلاعات بدست آمده از فیلمبرداری از کف دریا ضرایب معادله رگرسیون بر اساس جنس بستر مناسب بدست آمده و در مقایسه با مقادیر عمق‌بایی شده مستقیم، میزان خطای استاندارد حدود ۰/۶ متر برای عمق آب ۱۲-۱ متر برآورد شده است.

شرکت TCarta یک تأمین کننده جهانی محصولات مکانی می‌باشد. این شرکت اخیراً مجموعه داده عمق‌سنگی ماهواره‌ای را با استخراج دقیق عمق آب از تصاویر چندطیفی اخذ شده از ماهواره سنتینل-۲ تولید نموده است. داده‌های مذکور با قدرت تفکیک مکانی ۱۰ متری برای اندازه‌گیری عمق ۱۵ متری بکارگیری شده‌اند. داده‌های ارائه شده ناحیه‌ای ۳۰ کیلومتری در اطراف جزیره پریپریس^۴ در خلیج بنگال را پوشش می‌دهد. این داده‌ها به دلیل مقرن به صرفه بودن و سرعت تهیه آن به سرعت در حال محبوب شدن بین شرکت‌های کشف و تولید انرژی و سازمان‌های محیط‌زیستی و شرکت‌های توسعه زیرساخت هستند. (www.tcarta.com)

3- Principal Component Analysis

4- Preparis

عمق اندازه‌گیری شده و درجات روشناهی طیف‌ها بدست آمده است. همچنین خطای متوسط استاندارد عمق محاسبه شده حدود ۰/۸ متر در آب کم عمق (کمتر از ۲/۵ متر) تا حدود ۲/۸ متر در آب های عمیق‌تر (۲۵-۲۰ متر) بوده است (Jupp, 1988). در سال ۲۰۰۳ استامپ و همکاران با استفاده از نسبت انعکاس دو باند توانستند نه تنها تعداد مجھولات روش لایزنگا را کاهش دهند، بلکه حساسیت عمق سنجی به بسترها آب متفاوت را کمتر نمایند. در این روش از تفاوت خصوصیات جذب در باندهای سبز و آبی استفاده شده است. نتایج این روش با روش لایزنگا روی داده‌های روش لایزنگا مورد ارزیابی و مقایسه قرار گرفته است. در بررسی روش استامپ داده‌های عمق سنجی مستقیم چند ناحیه از این منطقه با داده‌های بدست آمده از تصاویر آیکونوس^۱ با توجه به شفافیت، گلآلودی و ساختار هندسی بستر مقایسه شده و عدم تأثیر این عوامل بر روی نتایج، مورد تأیید قرار گرفته است. این نتایج نشان می‌دهند که این روش تا عمق بالای ۱۵-۱۰ متر به خوبی کار می‌کند و صحبت آن برای ناحیه‌ای که ضرایب از آن بدست آمده بهتر است. خطای RMSE برای عمق‌های پایین‌تر از ۲۵ متر کمتر از ۰/۳ متر بدست آمده است. اما روش استامپ با توجه به نسبی بودنش از روش خطی لایزنگا نویزدارتر بوده که با افزایش عمق میزان نویز افزایش می‌یابد (Stumpf et al., 2003) صفری و همکاران در سال ۱۳۹۳ طی انجام یک پژوهش باکمک تصاویر فراتیفی سنجنده هایپریون از ماهواره EO1^۲ به عمق‌بایی در سواحل جزیره گشم پرداختند که تا آن زمان این تصاویر در عمق‌سنگی بصورت جدی مورد استفاده قرار نگرفته بود. نتایج ارزیابی پژوهش آنها نشان می‌دهد که میزان همبستگی تصویری که پس از انجام پیش پردازش‌ها، بر روی آن الگوریتم استامپ استفاده شده با عمق ۸۹/۳ درصد و مقدار انحراف معیار مقادیر عمق بدست آمده با عمق واقعی ۱/۳۸ متر بدست آمد، می‌تواند برای کاربردهای ویژه در مناطق ساحلی، با توجه به هزینه

1- Ikonos

2- Earth Observing One



نگاره ۱: تصویر سنتینل ۲ مربوط به تاریخ ۱۵ دسامبر ۲۰۱۸

تصویربرداری این ماهواره ۵ روز است. منطقه تحت پوشش این ماهواره از عرض ۸۴ درجه شمالی تا ۵۶ درجه جنوبی می‌باشد. عمر مفید در نظر گرفته شده برای این ماهواره ۷ سال می‌باشد. تصاویر سنجنده سنتینل ۲ دارای ۱۳ باند می‌باشند. این تصاویر در باندهای ۴، ۳، ۲ و ۸ که به ترتیب دارای طول موج های (۴۹۰ آبی)، (۵۶۰ سبز)، (۶۶۵ قرمز) و (۸۴۲ مادون قرمز) نانومتر هستند، دارای قدرت تفکیک مکانی ۱۰ متری بوده و با توجه به میرایی بسیار زیاد موج الکترومغناطیس در آب برای طول موج های بلندتر از مادون قرمز نزدیک، با در نظر گرفتن اینکه عمق نفوذ در باند آبی در حدود ۲۵ متر، در باند سبز در حدود ۱۵ متر، در باند قرمز فقط ۵ متر و در حیطه مادون قرمز نزدیک در حدود ۰/۵ متر بوده و در بقیه محدوده مادون قرمز تقریباً نفوذپذیری صفر می‌باشد، لذا فقط از ۴ باند ۱۰ متری جهت اجرای پروژه استفاده گردیده است.

۲-۲- منطقه مورد مطالعه
در راستای گسترش عمق‌یابی دریایی از آب‌های سرزمینی به سواحل دور و دسترسی به چارت‌های دریایی مناسب با مقیاس ۱:۲۵,۰۰۰ جهت ارزیابی دقت، منطقه پیاده‌سازی

با توجه به توانایی بالای سنجش از دور در جمع‌آوری اطلاعات در زمان کوتاه و درگستردگی جغرافیایی وسیع، هدف از انجام پژوهش حاضر، استفاده از علم سنجش از دور به عنوان راهکاری مناسب جهت عمق‌یابی می‌باشد.

۲- تصاویر و داده‌های مورد استفاده

در این مقاله ابتدا از آنالیز طیفی ۴ باند ۱۰ متری ۷ دوره از تصاویر سنجنده سنتینل ۲ مربوط به آژانس فضایی اروپا جهت عمق‌یابی در لحظه تصویربرداری و سپس از چارت دریایی ۱:۲۵,۰۰۰ Admiralty جهت ارزیابی دقت استفاده شده است. با توجه به ارزیابی تصویر از لحاظ شفافیت آب، نهایتاً تصویر مربوط به تاریخ ۱۵ دسامبر ۲۰۱۸ بعنوان تصویر مناسب جهت عمق‌یابی بکارگیری شده است.

۲-۱- تصاویر سنتینل ۲

ماهواره سنتینل ۲ به عنوان سری دوم ماهواره‌های سنتینل آژانس فضایی اروپا ، ۲۳ ژوئیه ۲۰۱۵ از پایگاه فضایی آژانس فضایی اروپا در گویان فرانسه توسط موشک و گاپرتاپ شد و مدار این ماهواره خورشید آهنگ و قطبی و در ارتفاع ۷۸۶ کیلومتر می‌باشد. مدت زمان تکرار

فصلنامه علمی - پژوهشی اطلاعات جغرافیایی (جغرافیا)

عمق‌یابی در سواحل با استفاده از تصاویر ماهواره‌ای سنتیل... / ۲۹

استفاده شود. این روش بر این فرضیه استوار است که روش LMR می‌تواند ضرایب یک مدل خطی را که مستقل از بازتاب کف‌دریا (جنس بستر) باشد ارایه دهد. این مدل شامل مقادیر طیفی باندهای مرئی می‌باشد که مقدار عمق را با رابطه (۱) به بازتاب باندها ارتباط می‌دهد. برای حل این مدل حتماً به نقاط عمق‌یابی زمینی نیازمند هستیم.

$$Z = m_1 \ln(B_1) + m_2 \ln(B_2) + m_3 \ln(B_3) + \dots + C \quad \text{رابطه (۱)}$$

در معادله (۱) پارامترهای B_1 , B_2 و B_3 مقدار باندهای طیفی پس از تصحیح اتمسفری و اثر درخشندگی خورشید و ضرایب m_1 , m_2 , m_3 و ضرایب مدل هستند که توسط نقاط عمق‌یابی زمینی بدست می‌آینند.

۲-۳- روش انعکاس دو باند (Stumpf)

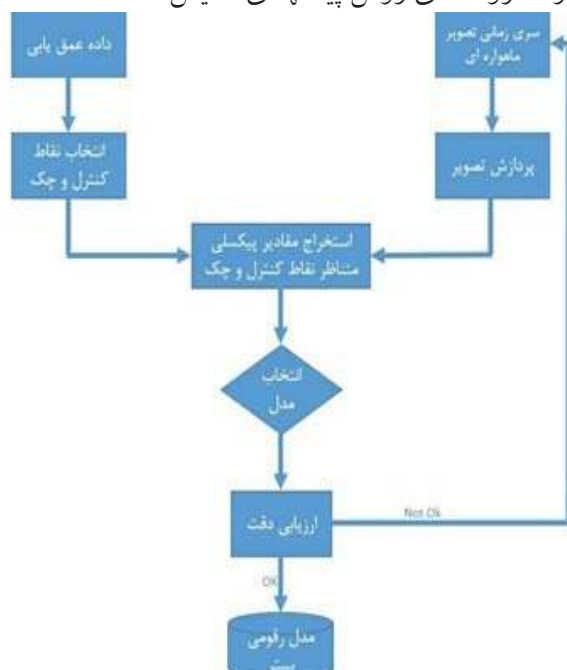
این روش توسط استامپ در سال ۲۰۰۳ ارائه شده است و هدف از آن تهیه راه حلی برای یافتن عمق با تعداد کمتری پارامتر و حساسیت کمتر نسبت به بسترهای آب متفاوت است. در این روش از تفاوت خصوصیت جذب در باندهای سبز و آبی استفاده شده است و از آنجایی که با افزایش عمق در آب شفاف انعکاس باند سبز بیشتر از باند آبی تضعیف می‌شود، لگاریتم این مقدار نیز چنین کاهشی خواهد داشت. به عبارت دیگر با افزایش عمق، انعکاس هر دو باند کاهش می‌یابد و $\ln(Rw)$ (لگاریتم طبیعی انعکاس سیگنال خروجی از آب) باند با جذب بیشتر (سبز) نسبت به $\ln(Rw)$ باند با جذب کمتر (آبی) بیشتر کاهش می‌یابد که در نتیجه نسبت لگاریتم‌های انعکاس باند آبی به سبز افزایش می‌یابد. از آنجاکه تغییر در بازتاب بستر روی هر دو باند بطور مشابه تأثیر می‌گذارد، بسترهای متفاوت با عمق یکسان یک مقدار نسبت را خواهند داشت. بنابراین در این روش، تعیین عمق مستقل از جنس بستر است و تنها نیاز به مقیاس‌دهی به مقدار عمق واقعی دارد:

$$Z = m_1 \frac{\ln(nR_w(\lambda_i))}{\ln(nR_w(\lambda_j))} - m_0 \quad \text{رابطه (۲)}$$

شده به طول حدود ۱۳۰ کیلومتر مربوط به سواحل بندر صلاله عمان در موقعیت جغرافیایی ۵۴ درجه و ۱۸ ثانیه شرقی و ۱۶ درجه و ۵۶ دقیقه و ۳۰ ثانیه شمالی می‌باشد.

۳- روش پیشنهادی

در روش پیشنهادی جهت ارزیابی کیفی و میزان روشنایی آب در لحظه تصویربرداری ابتدا تعدادی نقاط کنترل و چک از داده‌های واقعی استخراج و مقادیر پیکسلی متناظر آن‌ها پس از تصحیحات مورد نیاز از تصاویر ماهواره‌ای استخراج شده و پس از ارزیابی دقت پارامترهای مورد نیاز مدل‌ها محاسبه گردیده و با اعمال پارامترها به تصویر انتخاب شده، مقادیر پیکسلی به عمق در لحظه تصویربرداری تبدیل می‌شود، در نگاره ۲ روندnamای روش پیشنهادی نمایش داده شده است.



نگاره ۲: روندnamای روش پیشنهادی

۳-۱- مدل رگرسیون خطی چند باندی (LMR)

این مدل حاصل تحقیقات کلارک و همکارانش در سال ۱۹۸۷ می‌باشد. آنها نشان داده‌اند که مدل رگرسیون خطی چندباندی می‌تواند برای تخمین عمق‌یابی

بودنش نویز دارتر است و این تغییر نویز با افزایش عمق افزایش می‌یابد، در حالی که روش خطی پنج مجھوله تا عمق ۱۵ متر خطای مشابه با روش نسبت انعکاس دو باند دارد و در عمق‌های بالا ۱۵ متر بندرت عمق‌های معنی‌دار می‌دهد و با توجه به پنج پارامتره بودنش نیاز به اطلاعات عمق‌بایی بیشتر نسبت به روش Stumpf داشته و قادر به تهیه داده‌های عمق در مناطق کم عمق با روشنایی کمتر از ناحیه آب عمیق (نواحی تیره کم عمق با کف جلکی و خزه‌ای) نیست.

۴- پیاده سازی

۴-۱- جداسازی خشکی از آب

پیاده‌سازی مدل، نیازمند جداسازی نواحی خشکی از نواحی دارای آب می‌باشد که برای این منظور می‌توان از شاخص‌های^۱ AWEI،^۲ MNDVI،^۳ NDWI،^۴ NDVI استفاده کرد. در این پژوهه از شاخص NDVI استفاده شده است. کاربرد اصلی شاخص NDVI برای برآورد میزان پوشش گیاهی در منطقه می‌باشد اما مقادیر این شاخص در مناطقی که دارای پوشش آب می‌باشد منفی است و از این ویژگی برای تهیه ماسک جداساز مناطق خشکی از آب استفاده شده است. جهت عملکرد صحیح مدل‌های عمق‌بایی نیاز به حذف مناطق خشکی می‌باشد که با ایجاد ماسک جدا ساز آب از خشکی مقدار عددی پیکسل‌ها در خشکی حذف گردیده است.

۴-۲- انتخاب نقاط کنترل و چک

در این مرحله تعداد ۶۸ نقطه کنترل و ۶۸ نقطه چک از نقشه Admiralty موجود انتخاب شده و مقدار عددی پیکسل‌های متناظر نقاط انتخاب شده از ۴ باند ۱۰ متری تصویر ستینل ۲ استخراج گردید.

در رابطه (۲) m_1 ثابتی جهت مقیاس‌دهی، n ثابتی برای تمام ناحیه و جهت جلوگیری از منفی شدن لگاریتم مقادیر کوچک و m_0 نیز مقداری برای عمق صفر است. ضرایب m_1 در این روش به کمک چند نقطه کنترل که مقادیر عمق‌شان از روش دیگری مثل روش زمینی تهیه شده است بدست می‌آیند.

روش نسبت لگاریتمی انعکاس باندها در آب شفاف قادر به دستیابی به عمق‌های بیشتر از ۲۵ متر می‌باشد و پایداری زیادی در محیط‌های متفاوت دارد اما این روش به میزان شفافیت و غلظت کلروفیل در آب حساس است زیرا وقتی کلروفیل در آب افزایش یابد میزان انعکاس باند آبی از سبز کاهش بیشتری خواهد یافت. همچنین این روش نویز بالایی دارد و این بدان دلیل است که یک رابطه کسری بطور ذاتی اختلاف‌های کوچک را شدت می‌بخشد و این خطا با افزایش عمق بیشتر می‌شود. این روش با توجه به کم بودن تعداد پارامترها، استحکام زیادی نیز نسبت به تغییر بستر دارد و برخلاف اکثر روش‌ها احتیاج به دانستن میزان انعکاس آب عمیق نیست.

نتایج این روش روی داده‌های بدست آمده از عمق‌بایی بر روی مردابی مرجانی با شفافیت آب نسبتاً خوب در شمال غربی جزایر هاوایی مورد ارزیابی قرار گرفته است در این بررسی داده‌های عمق‌بایی چند ناحیه از این منطقه که بوسیله اکوساندر بدست آمدند با داده‌های بدست آمده از تصاویر آیکونوس با توجه به شفافیت، گلآلودی و ساختار (شیب و ...) بستر مقایسه شده و عدم یا تأثیر کم این عوامل بر روی نتایج مورد تأیید قرار گرفته است. نتایج فوق نشان می‌دهند که این روش تا عمق بالای ۱۰-۱۵ متر به خوبی کار می‌کند و صحت آن برای ناحیه‌ای که ضرایب از آن بدست آمده بهتر است. خطای RMSE هنجاریافته یعنی نسبت مقدار خطای RMSE به عمق واقعی برای عمق کمتر از ۲۵ متر کمتر از ۳۰٪ بدست آمده است و در مقایسه با روش خطی پنج مجھوله لا یزنگا، این روش اطلاعات عمق را در اعماق ۵-۱۰ متر بیشتر می‌دهد اما با توجه به نسبی

1- Normalized Difference Vegetation Index

2- Normalized Difference Water Index

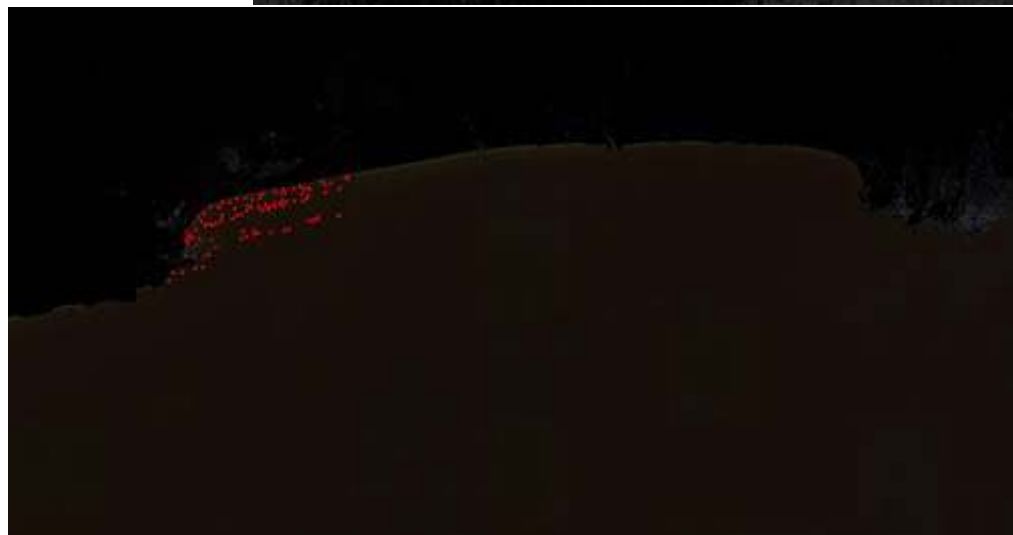
3- Modified Normalised Difference Water Index

4- Automated Water Extraction Index

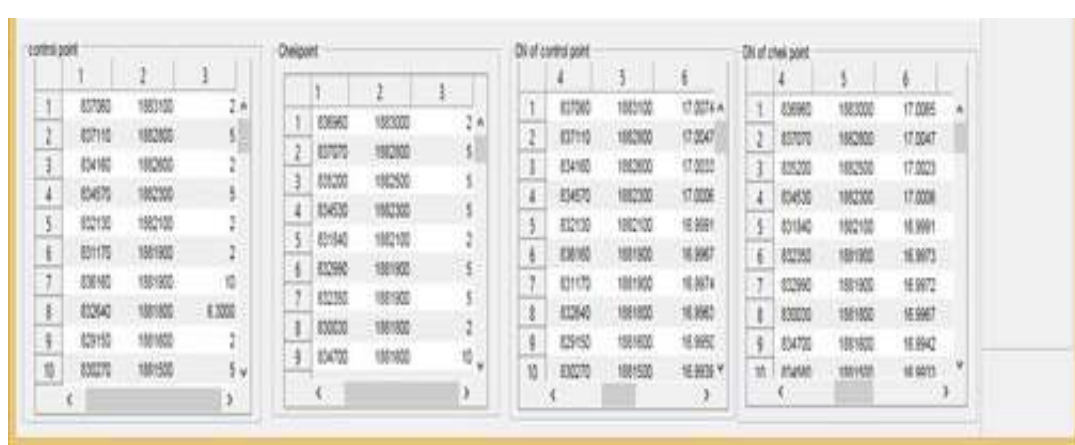
فصلنامه علمی - پژوهشی اطلاعات جغرافیایی (میر)
عمق‌بابی در سواحل با استفاده از تصاویر ماهواره‌ای ستینیل... / ۳۱



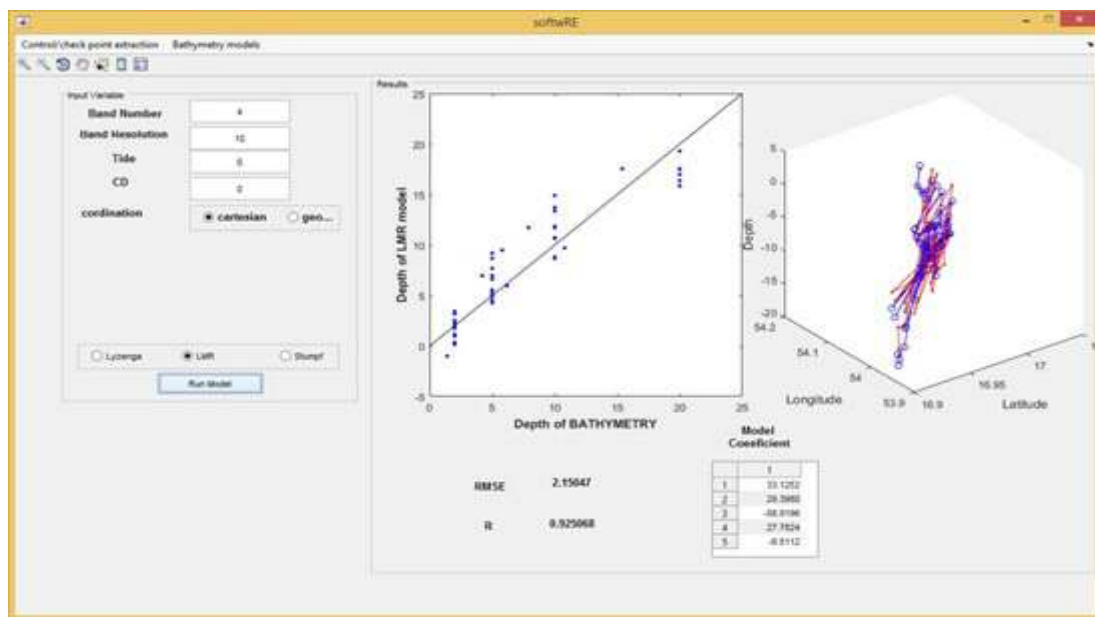
نگاره ۳: جداسازی آب از خشکی
در تصویر ستینیل ۲ مربوط به تاریخ
۲۰۱۸ دسامبر



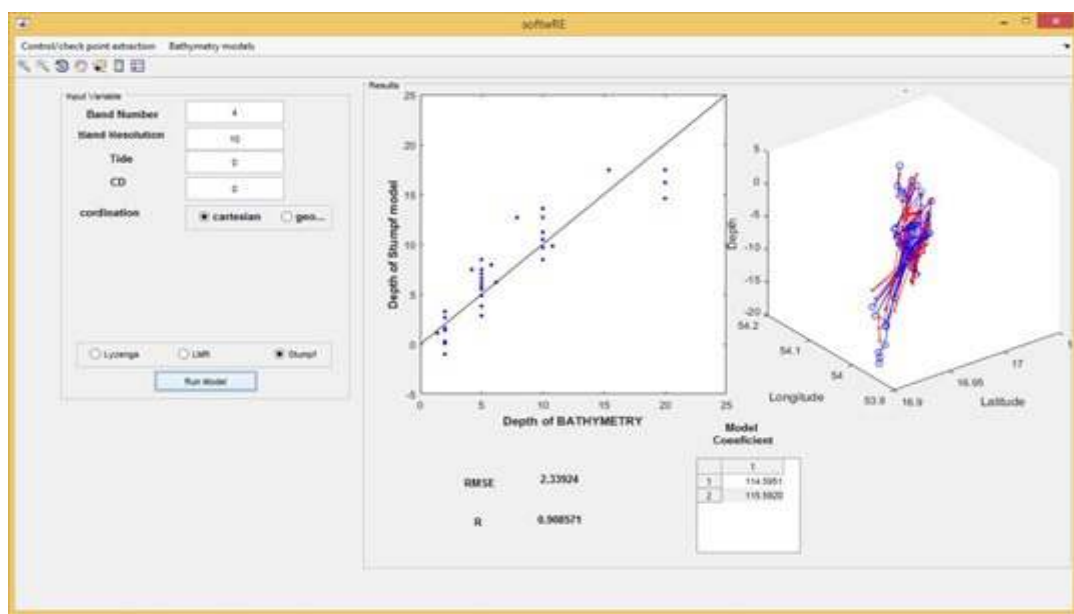
نگاره ۴: نقاط کنترل(سبز) و چک(قرمز) و پیاده‌سازی آن بر روی تصویر ستینیل ۲ مربوط به تاریخ ۲۰۱۸ دسامبر جهت
استخراج مقدار عددی پیکسل‌های متناظر



نگاره ۵: نمایی از استخراج نقاط کنترل و چک و مقدار عددی پیکسل‌های متناظر آنها از تصویر ستینیل ۲ توسط نرم‌افزار
عمق‌بابی



نگاره ۶: ارزیابی دقت عمق‌یابی و محاسبه پارامترهای مورد نیاز جهت عمق‌یابی تصویر انتخاب شده به روش LMR



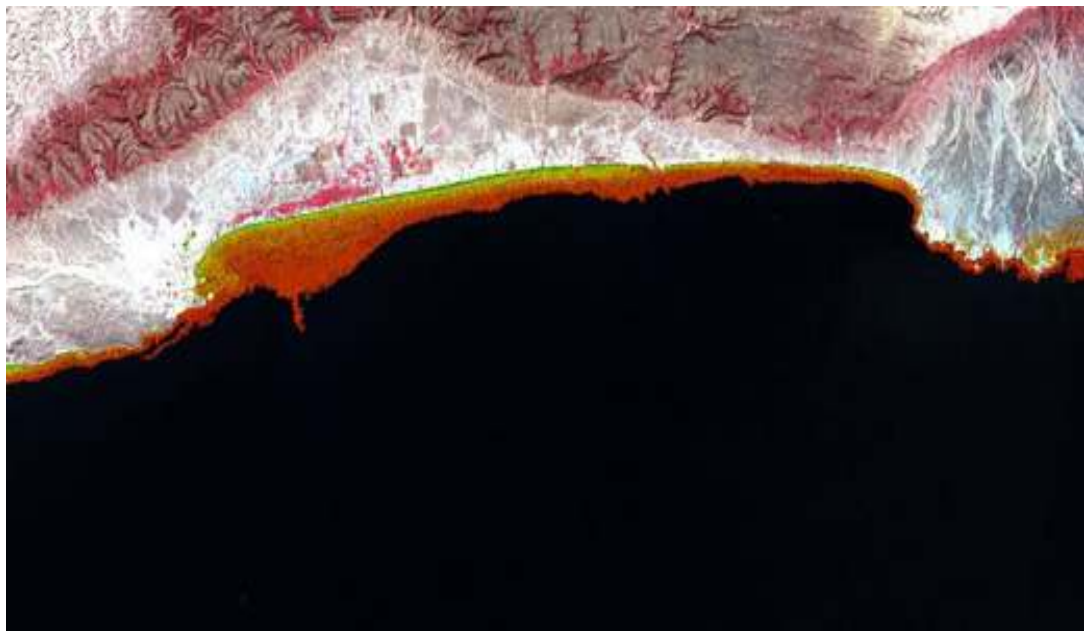
نگاره ۷: ارزیابی دقت عمق‌یابی و محاسبه پارامترهای مورد نیاز جهت عمق‌یابی تصویر انتخاب شده به روش Stumpf

۶ و ۷ نشان داده شده است. پارامترهای ارزیابی دو روش

ابتدا نقاط کنترل و چک و مقدار عددی پیکسل‌های LMR نشان دهنده دقت بهتر و همبستگی بالاتر نتایج روش متناظر آنها در ۴ فایل مجزا استخراج شدند، سپس این ۴ می‌باشد. بنابراین در ادامه از این روش جهت عمق‌یابی فایل وارد نرم‌افزار عمق‌یابی شده و پارامترهای دوروش تصویر در فواصل عمقی صفر تا ۲۰ متر استفاده شده است. با توجه به نگاره ۶ پارامترهای LMR و Stumpf محاسبه شدند. نتایج حاصل در نگاره‌های

۴-۳- ارزیابی نتایج

فصلنامه علمی - پژوهشی اطلاعات جغرافیایی (سچر)
عمق‌بایی در سواحل با استفاده از تصاویر ماهواره‌ای سنتینل... / ۳۳



نگاره ۸: مدل رقومی بستر سواحل بندر صلاله بطول ۱۳۰ کیلومتر



نگاره ۹: مدل رقومی بستر در فواصل ۱ کیلومتری تا ۷ کیلومتری از ساحل

ترتیب با مقادیر عددی ۳۳/۱۲ و ۲۸/۴۰ و ۵۶/۸۲ و ۲۷/۷۸ افزار عمق‌بایی بعنوان ۵ پارامتر ورودی، که چهار پارامتر و ۶/۵۱- بعنوان ضرایب عددی مدل استخراج شده از نرم اول ضرایب لگاریتمی مقدار پیکسلی ۴ باند ۱۰ متری

تصویر در پیکسل متناظر نقطه کنترل به رادیانس، اطلاعات مربوط به هندسه تصویر و مقدار رادیانس مربوط به هر باند استخراج گردید.

با توجه به اینکه داده‌های هیدروگرافی حاوی اطلاعات مکانی (X,Y,Z) بوده هدف از این تحقیق بدست آوردن Z متناظر از آنالیز طیفی داده‌های فضایی بود که مقادیر Y,X از پردازش‌های هندسی و طیفی حاصل گردیده ولی برای عمق (Z) مقدار عددی پیکسل‌ها (DN) در باندهای مختلف بکار گرفته می‌شود که در این پژوهش با استفاده از مدل عمق‌یابی LMR و STUMPF به دست آمده است. پیاده‌سازی‌ها در نرم‌افزار MATLAB انجام شده است. نتایج حاصل از ارزیابی نشان دهنده اینست که مدل LMR با مقدار میانگین مربع خطاهای (RMSE) ۲/۱۵ متر و ضریب همبستگی (CC) ۹۰/۹۲۵٪ دارای دقت و همبستگی بهتری نسبت به مدل STUMPF می‌باشد.

در انتها موارد ذیل بعنوان پیشنهادات ادامه کار مطرح می‌گردد:

اختلاف ناشی از فصول و تغییرات ناشی جریان‌های دریایی، رشد و تکثیر آبزیان از جمله رشد فیتوپلانگتون‌ها در سطح گستردگی و در مناطق عمیق مختلف مقدار رادیانس ورودی به سنجنده را تحت الشعاع قرار داده که تحقیقات در این مورد پیشنهاد می‌گردد.

بدست آوردن اختلاف ارتفاع لحظه تصویربرداری با چارت دیتوم نیاز به دانستن اطلاعات تأیید می‌باشد. لذا مطالعه در مورد سطح دریا و بدست آوردن تغییرات سطح توپوگرافی آب حاصل از ماهواره‌های ارتفاع‌سنجی، ما را از بکاربردن عمق‌سنج در مناطقی که امکان نسب دستگاه جذر و مدرسنج^۱ وجود ندارد، بی‌نیاز می‌کند.

داشتن اطلاعات جامع از جنس بستر و مدل‌سازی کردن بستر در آنالیز طیفی داده‌های فضایی، نتایج حاصل از عمق یابی را بهبود خواهد بخشید.

تصویر سنتینل ۲ مربوط به تاریخ ۱۵ دسامبر ۲۰۱۸ و با اعمال انتقال پارامتر پنجم در مدل رگرسیون خطی چندباندی مقدار میانگین مربع خطاهای (RMSE) ۲/۱۵ متر و ضریب همبستگی (CC) آن ۹۰/۹۲۵٪ در فواصل عمیقی صفر تا ۲۰ متر محاسبه و مدل رقومی ارتفاعی بستر در سواحل بندر صلاله عمان پیاده‌سازی گردیده است.

در مدل استامپ توجه به نگاره ۷ پارامترهای m1 به ترتیب با مقادیر عددی ۱۱۴/۰۹ و ۱۱۵/۰۹ ضرایب عددی مدل استخراج شده از نرم افزار عمق‌یابی بعنوان دو پارامتر ورودی مورد نیاز مربوط به باندهای سیز و آبی ۱۰ متری تصویر سنتینل ۲ مربوط به تاریخ ۱۵-۱۲-۲۰۱۸ محاسبه و مقدار میانگین مربع خطاهای (RMSE) ۲/۳۴ متر و ضریب همبستگی (CC) آن ۹۰/۹۱٪ در فواصل عمیقی صفر تا ۲۰ متر می‌باشد که نسبت به نتایج مدل رگرسیون خطی چندباندی از دقت کمتری برخوردار می‌باشد.

مدل رقومی حاصل در مناطق کم عمق صفر تا ۲۰ متر با شبکهای متفاوت در فاصله ۱ کیلومتر تا ۷ کیلومتر از ساحل به سمت دریا را عمق‌یابی نموده است.

۵- جمع‌بندی

در این پژوهش از تصاویر ماهواره سنتینل ۲ استفاده گردید. این تصویر از بندر صلاله عمان در تاریخ ۱۵ دسامبر ۲۰۱۸ اخذ شده است. برای انجام پیاده‌سازی‌ها در این پژوهش از چارت دریایی ۱:۲۵,۰۰۰ استفاده Admiralty نمودیم. در این تحقیق برای پیاده‌سازی از کل نقاط استفاده نشده و متناسب با قدرت تفکیک مکانی تصاویر، و در محدوده عمقی ۰ تا ۲۰ متر، تعداد ۶۸ نقطه کنترل و ۶۸ نقطه چک از نقشه Admiralty موجود استخراج شده و دقت هر مدل بیان شده است.

پس از انتخاب نقاط کنترل نیاز به انتخاب پیکسل‌های متناظر آن از تصاویر ماهواره‌ای بود که ضمن انجام پیش پردازش‌های لازم نیاز به تبدیل عددی پیکسل‌ها (DN)^۱

فصلنامه علمی - پژوهشی اطلاعات جغرافیایی (جغرافیا)
عمق بابی در سواحل با استفاده از تصاویر ماهواره‌ای سنتینل... ۳۵ /

environmental change. Trends in ecology & evolution, 20(9), 503-510.

12- Safari, R., Homayouni, S., & Khazaee, S. (2014). Estimation of coastal waters depth using hyperspectral images. Surveying Engineering and spatial data Journal, 6.

13- Stumpf, R. P., Holderied, K., & Sinclair, M. (2003). Determination of water depth with high resolution satellite imagery over variable bottom types. Limnology and Oceanography, 48(1part2), 547-556

14- Su H., Liu H. and W. Heyman, 2008. Automated derivation for bathymetric information from multispectral satellite imagery using a non-linear inversion model. Marine Geodesy, 31, pp. 281-298.

15- www.tcarta.com

۶- منابع و مأخذ

- 1- Benny, A.H., and G.J. Dawson. (1983). Satellite imagery as an aid to bathymetric charting of the Red Sea. The Cartographic Journal. 20 (1): 5–16.
- 2- Clark, R. K., Fay, T. H., & Walker, C. L. (1987). Bathymetry calculations with Landsat 4 TM imagery under a generalized ratio assumption. Applied optics, 26(19), 4036_4031-4038.
- 3- Gao, J. (2009). Bathymetric mapping by means of remote sensing: methods, accuracy and limitations. Progress in Physical Geography, 33(1), 103-116.
- 4- Green, E. P., Mumby, P. J., Edwards, A. J., & Clark, C. D. (2005). Remote sensing handbook for tropical coastal management.
- 5- Jupp, D. (1988). Background and extensions to depth of penetration (DOP) mapping in shallow coastal waters. Paper presented at the Proceedings of the Symposium on Remote Sensing of the Coastal Zone.
- 6- Lyzenga, D. R. (1978). Passive remote sensing techniques for mapping water depth and bottom features, Applied Optics, 17(3), 379, doi:10.1364/AO.17.000379.
- 7- Lyzenga, D. R. (1981). Remote sensing of bottom reflectance and water attenuation parameters in shallow water using aircraft and Landsat data. International journal of remote sensing, 2(1), 71-82.
- 8- Lyzenga, D. R. (1985). Shallow-water bathymetry using combined lidar and passive multispectral scanner data. International journal of remote sensing, 6(1), 115-125.
- 9- Martin, S. (2014). An introduction to ocean remote sensing: Cambridge University Press.
- 10- Mishra, D.R., Narumalani, S., Rundquist, D., and M. Lawson. 2005. Characterizing the vertical diffuse attenuation coefficient for downwelling irradiance in coastal waters: Implications for water penetration by high resolution satellite data. Photogrammetry and Remote Sensing. 60: 48–64.
- 11- Pettorelli, N., Vik, J. O., Mysterud, A., Gaillard, J.-M., Tucker, C. J., & Stenseth, N. C. (2005). Using the satellite-derived NDVI to assess ecological responses to

